

РАСПРЕДЕЛЕНИЕ ЧУЖЕРОДНОЙ МИТОХОНДРИАЛЬНОЙ ДНК ПРИ ПЕРВЫХ ДРОБЛЕНИЯХ ТРАНСМИТОХОНДРИАЛЬНЫХ ЭМБРИОНОВ МЫШИ

© M. E. Кустова, B. A. Соколова, M. G. Басс, Ф. М. Захарова, A. B. Сорокин, B. B. Васильев¹

НИИ экспериментальной медицины РАМН, Санкт-Петербург;

¹ электронный адрес: vadim@mtdna.ru

Проанализировано распределение митохондриальной ДНК (мтДНК) человека по отдельным бластомерам мыши при дроблении зародышей, в которые на стадии одной или двух клеток инъектировали взвесь митохондрий человека. МтДНК человека определяли с помощью полимеразной цепной реакции, используя видоспецифические праймеры. Всего проанализировано 315 эмбрионов мыши на стадии 2 и 4 бластомеров. Во всех исследованных зародышах наряду с мышиной мтДНК присутствовали копии митохондриального генома человека, т. е. наблюдался феномен искусственно смоделированной гетероплазмии. Отмечено, что чужеродная мтДНК не всегда присутствовала во всех бластомерах трансмитохондриальных зародышей. Математическая обработка показала, что за время между инъекцией митохондрий человека и последующим дроблением не происходит равномерного распределения мтДНК человека по цитоплазме. Полученные результаты также указывают на наличие более 2—3 единиц сегрегации мтДНК в общем количестве митохондрий (примерно $5 \cdot 10^2$), введенных в зародыш при микропункции.

Ключевые слова: митохондрии, сегрегация мтДНК, гетероплазмия, трансгенные мыши.

Проблема распределения мутантной митохондриальной ДНК (мтДНК) по тканям в ходе эмбрионального развития имеет большое, если не решающее, значение для понимания механизмов возникновения и прогрессирования так называемых митохондриальных болезней, обусловленных дегенерацией некоторых тканей (органов) из-за угнетения энергетического метаболизма (Васильев, 2006). Имеются в виду только те заболевания, которые прямо связаны с дефектом мтДНК и соответственно наследуются по материнской линии (почти все свои митохондрии зародыш человека получает из яйцеклетки).

В предыдущих исследованиях (Sokolova et al., 2004; Bass et al., 2006) мы показали принципиальную возможность получения лабораторных животных, развившихся из зигот, в которые были инъектированы митохондрии человека. При этом чужеродная для организма мыши мтДНК человека выступает как аналог мутантного митохондриального генома, попадая лишь в некоторые ткани (мозаичность, наблюдаемая и у больных с расстройствами обмена энергии) и сосуществуя с собственной (мышиной) мтДНК (феномен гетероплазмии, т. е. сосуществования двух и более разновидностей мтДНК). В то же время она не вызывает ничего похожего на клинический фенотип, наблюдавшийся у пациентов с болезнями OXPHOS (oxidative phosphorylation). Мы предположили, что введение митохондрий человека в мышнюю зиготу может оказаться полезным приемом для изучения распределения чужеродной (а в перспективе — и мутантной) мтДНК по тканям мышного зародыша, и провели некоторые расчеты в поисках возможных закономерностей этого процесса (Басс и др., 2005; Bass et al., 2006). Однако однозначного алгоритма распределения чужеродной мтДНК по тканям трансмитохондри-

альных мышей не выявлено, возможно потому, что исследовались в основном новорожденные и взрослые животные, а также относительно небольшая выборка зародышей на поздних сроках внутриутробного развития.

Распределение различающихся копий митохондриального генома по дочерним клеткам в ходе цитокинеза напрямую зависит от сегрегации молекул мтДНК — практически неизученного процесса, в основе которого лежит неизвестный механизм, действующий как «бутылочное горлышко», пропускающее лишь часть молекул мтДНК из общего митохондриального пула материнской клетки (Howell, 1999). Помимо общебиологического значения исследований сегрегации мтДНК выявление возможно существующего алгоритма ее распределения по тканям (органам) может вызвать решающий сдвиг в конструировании моделей митохондриальных болезней человека на животных. Невозможность целенаправленно получать изменения в заранее известных тканях животных затрудняет изучение патогенеза болезней OXPHOS в настоящее время.

В связи с этим нами была поставлена задача исследовать распределение чужеродной мтДНК на ранних стадиях развития мышных зародышей. В настоящей работе представлены результаты исследования зародышей, достигших стадии 2 и 4 бластомеров после инъекции митохондрий человека в мышную зиготу.

Материал и методика

Получение митохондрий. Митохондрии человека выделяли из культуры клеток гепатомы человека HepG2. Клетки культивировали *in vitro* при 37 °C в среде

ДМЕМ с добавлением 10 % эмбриональной телячьей сыворотки. Выделение митохондрий проводили методом дифференциального центрифугирования. Клетки лизировали в гипотоническом буфере (250 мМ сахарозы, 20 мМ Трис-НСl и 2 мМ ЭДТА, рН 7.4). Первое центрифугирование с целью осаждения ядер проводили при ускорении 750 g. Центрифугирование надосадочной жидкости проводили при ускорении 9600 g, что обеспечивало осаждение митохондрий. Полученную фракцию митохондрий переносили в PBS (рН 6.8) и образовавшуюся взвесь органелл использовали для микропункций в зиготы мыши.

Митохондрии, выделенные из печени мыши, использовали для получения mtДНК мыши, необходимой в качестве контроля, образцы тканей гомогенизировали в 4-кратном объеме гипотонического буфера. Далее митохондрии выделяли, как описано выше. Функциональную активность митохондрий оценивали при помощи красителя Mito Tracker Red, как описано ранее (Sokolova et al., 2004). Все процедуры проводили при 4 °C.

Перенос митохондрий человека в зиготу мыши и выделение ДНК. Использовали мышей (СВА × C57BL)F1 из питомника «Рапполово» (Санкт-Петербург) в возрасте 3 нед. Яйцеклетки получали с помощью гормональной стимуляции самок (Nagy et al., 2003): самкам вводили 5 единиц сывороточного гонадотропина (PMSG; фирма Интервет), через 48 ч им инъиковали 10 единиц хорионического гонадотропина (hCG; фирма Интервет) и подсаживали в клетку с самцами на ночь. Утром отбирали самок с копуляционными пробками. Зародышей извлекали из яйцеводов самок либо через 20 ч после введения hCG (для инъекции митохондрий человека в зиготу), либо через 46 ч (для инъекции митохондрий человека в один из бластомеров двухклеточного зародыша). Манипуляции с зародышами и техника микропункций в них митохондрий были разработаны и описаны нами ранее (Vasilyev et al., 1999). В зиготу или в один из бластомеров двухклеточного зародыша инъиковали суспензию митохондрий в объеме приблизительно 3—19 пкл, содержащую примерно 500 митохондрий.

После микропункции зиготы или двухклеточные зародыши многократно отмывали в среде НТ-6 и культивировали в пластиковых чашках Петри в каплях среды МЗ под слоем минерального масла в атмосфере 5 % CO₂ при 37 °C. По достижении зародышами стадии 2 или 4 бластомеров эмбрионы разделяли на отдельные бластомеры, которые затем лизировали и выделяли из них тотальную ДНК.

Анализ присутствия mtДНК человека в клетках мышиных эмбрионов с помощью ПЦР. MtДНК человека в мышиных зародышах выявляли с помощью полимеразной цепной реакции (ПЦР), используя видоспецифичные праймеры. Было проведено сравнение последовательностей mtДНК человека (Anderson et al., 1981) и мыши (Bibb et al., 1981). Для синтеза 5'-праймеров выбрали близкие по локализации негомологичные участки 13959—13976 в mtДНК человека и 13437—13455 в mtДНК мыши. Для синтеза 3'-праймеров были выбраны участки 14190—14207 в mtДНК человека и 13584—13601 в mtДНК мыши, имеющие высокую степень гомологии (15 совпадающих пар оснований из 18). Таким образом, были подобраны пары праймеров, дающие в результате ПЦР амплификаты различной длины: 249 пар оснований для mtДНК человека и 164 пары оснований для mtДНК мыши.

Обе пары праймеров были рассчитаны таким образом, что температура связывания (ренатурации) была одинаковой и составляла 51 °C. В предварительных экспериментах было показано, что при проведении 40 циклов ПЦР не происходит перекрестной реакции между mtДНК мыши и праймерами к mtДНК человека. Отсутствовало и взаимодействие между праймерами к mtДНК мыши и mtДНК человека.

Дополнительным контролем служило наличие в амплифицируемом участке mtДНК человека сайта для расщепления специфической эндонуклеазой AluI. Под действием AluI полученный в результате амплификации фрагмент mtДНК человека длиной 249 пар оснований расщепляется на два — 190 и 59 пар оснований. Подобный сайт отсутствует в амплифицируемом участке mtДНК мыши.

Статистический анализ. Во всех экспериментальных группах рассчитывали выборочную долю от общего числа особей или эмбрионов, входящих в данную экспериментальную группу. Под выборочной долей понимается доля особей или эмбрионов, имеющих интересующий нас признак (например, развившихся до определенной стадии или являющихся трансгенными). Для всех полученных долей рассчитывали ошибку выборочной доли. Для удобства обсуждения все доли выражали в %. Достоверность различия между различными выборочными долями рассчитывали с применением критерия ζ , который является аналогом критерия Стьюдента для биномиального распределения, и критерия χ^2 ; в необходимых случаях при попарном сравнении применяли поправку Йетса на непрерывность (Гланц, 1999).

Реактивы. ДМЕМ и эмбриональная телячья сыворотка (Биолот, Россия); краситель MitoTracker Red (Molecular Probe, США); минеральное масло (Sigma, США).

Результаты и обсуждение

При исследовании *in vitro* ранних стадий дробления эмбрионов, полученных из зигот, которым микропунктировали митохондрии человека, методом ПЦР в каждом из них было выявлено присутствие как mtДНК мыши, так и mtДНК человека. Это говорит о том, что нам удалось создать модель, удовлетворяющую требованию гетероплазии. Однако чужеродная mtДНК была обнаружена не во всех бластомерах. Так, из 156 зародышей, проанализированных на стадии 2 бластомеров, только у 102 mtДНК человека была обнаружена в обоих бластомерах, а у 54 присутствовала только в 1 из 2 бластомеров. При этом mtДНК мыши присутствовала во всех проанализированных бластомерах (см. рисунок).

Тот факт, что на ранних стадиях дробления зиготы *in vitro* чужеродная mtДНК обнаруживается не во всех бластомерах, указывает на возникновение мозаичности по mtДНК уже на самых ранних стадиях эмбрионального развития, а с другой стороны — на возможно неслучайное распределение чужеродных митохондрий при дроблении зиготы. Привнесенное нами в зиготу количество митохондрий человека (порядка $5 \cdot 10^2$) достаточно велико в сравнении с числом бластомеров, на которые делится зародыш при первых дроблениях, поэтому при стохастическом распределении чужеродных митохондрий вероятность попадания их в оба бластомера чрезвычайно велика. Однако из 156 зародышей после первого дробления у 54 из них (т. е. у $34.6 \pm 3.8\%$) mtДНК человека присутствует.

вует только в одном из бластомеров. Это может быть вызвано несколькими возможными причинами.

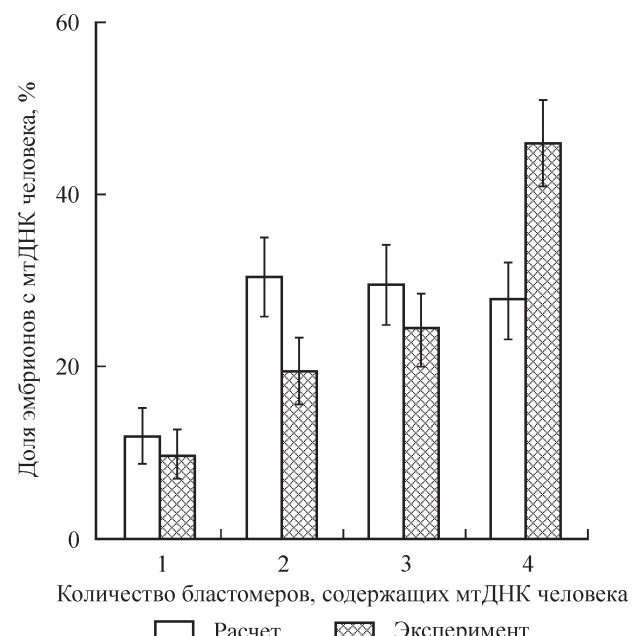
Первая — агрегация митохондрий в кластеры при делении зиготы. Этот механизм часто рассматривается как основной при сегрегации mtДНК в ряду поколений клеток. Вероятнее всего, сегрегация mtДНК в ряду делящихся бластомеров происходит по принципу «бутылочного горлышка» в процессе созревания ооцитов, когда значительная часть копий митохондриального генома не переходит из материнской клетки в дочернюю (Poulton, Marchington, 1996). При этом вводится понятие «единицы сегрегации», величина которой достоверно не установлена, т. е. по разным данным колеблется от 5—10 копий митохондриального генома до десятков молекул mtДНК, объединенных в кластеры, называемые нуклеоидами (Howell, 1999). Сегрегация по механизму «бутылочного горлышка» описана не только для ооцитов, но и в ряду клеточных поколений культуры фибробластов (Matthews et al., 1995).

Предположим, что механизм «бутылочного горлышка» является единственной причиной наблюдаемого распределения чужеродной mtДНК по бластомерам, и будем рассматривать вероятность попадания каждой единицы сегрегации в один из них как вероятность независимого события. Тогда при 2 единицах сегрегации вероятность того, что лишь 1 из 2 бластомеров получит mtДНК человека, составит 50 %, а для 3 единиц — 25 %. В наших опытах эта доля составила $34.6 \pm 3.8\%$, что позволяет предположить наличие 2—3 единиц сегрегации в привнесенном количестве митохондрий и соответственно значительное количество митохондрий (более 10^2), входящих в каждую такую единицу.

Помимо сказанного нельзя исключить, что независимо от агрегации митохондрий и(или) объединения копий митохондриального генома в нуклеоиды существует минимальная пороговая концентрация чужеродной mtДНК, необходимая для ее закрепления в дочерней клетке (Howell, 1999).

Второй причиной такой сегрегации митохондрий может быть тот факт, что промежуток времени между инъекцией митохондрий человека в зиготу мыши и первым дроблением зародыша оказывается недостаточным для «перемешивания» привнесенных митохондрий по всему объему клетки, по крайней мере для попадания достаточного количества митохондрий из перинуклеарного пространства мышной зиготы, в которое производилась инъекция, в ту часть цитоплазмы, которая будет отделена при дроблении. При этом следует иметь в виду, что под «перемешиванием» мы подразумеваем не случайное (термодинамическое) перемещение частиц по клетке, а сложный комплекс процессов, включающий в себя связь митохондрий с цитоскелетом (Tourte et al., 1991; Penman, 1995; Hermann et al., 1997), тенденцию митохондрий, а возможно, и нуклеоидов к слиянию (Nogawa et al., 1988; Smith, Alcivar, 1993; Howell, 1999), а также тенденцию соседних митохондрий к совместной сегрегации при делении клетки (Howell, 1996, 1999). Учитывать возможное влияние перемешивания mtДНК (привнесенной и хозяйской) не значит отрицать сам факт существования единиц сегрегации. В данном случае можно предполагать, что единиц сегрегации больше, чем 2—3, и соответственно меньшее число митохондрий входит в каждую из них.

Наконец, третья причиной отсутствия чужеродной mtДНК в одном из бластомеров у части ($34.6 \pm 3.8\%$) за-



Сравнение экспериментального распределения чужеродной mtДНК с расчетным в эмбрионах мыши на стадии 4 бластомеров.

родышей может быть процедура самой инъекции митохондрий. Нельзя исключить, что митохондрии человека остаются внутри вакуоли из плазматической мембранны, образовавшейся вследствие ее недостаточного прокола в момент инъекции. Такое допущение, хотя и кажется маловероятным, требует отдельного рассмотрения.

Для выбора одного из трех предложенных объяснений необходимо проанализировать распределение чужеродной mtДНК на следующей стадии дробления зародыша — стадии 4 бластомеров. Однако сначала рассмотрим возможные варианты, ожидаемые в случае справедливости каждого предположения о механизме распределения чужеродной mtДНК.

Если справедлива третья причина появления такой сегрегации и наблюдаемое отсутствие чужеродной mtДНК в 1 из 2 бластомеров у части ($34.6 \pm 3.8\%$) зародышей объясняется тем, что инъцированные митохондрии человека остались внутри вакуолей, то такая же доля эмбрионов, содержащих mtДНК человека только в 1 бластомере, должна сохраняться и на стадии 4 бластомеров.

Для обнаружения возможных различий в распределении чужеродной mtДНК по 4 бластомерам в случае справедливости первой и второй причины нами была предложена следующая модель. Допустим, что для каждого из 2 бластомеров, несущих чужеродную mtДНК, вероятность передать ее обоим дочерним бластомерам составляет 65.4 %, а только 1 из 2 — 34.6 %, т. е. повторяется картина распределения при первом делении. В таком случае ожидаемое распределение чужеродной mtДНК на стадии 4 бластомеров будет следующим: только в 1 бластомере из 4 mtДНК человека должна быть обнаружена у 12.0 % зародышей, в 2 из 4 — у 30.5 % зародышей, в трех — у 29.6 % зародышей и во всех 4 — у 28.0 % зародышей. Следует отметить, что оценка такого распределения является наиболее «мягкой» оценкой для предположения, основывающегося на том, что единственной величиной, определяющей алгоритм распределения чужеродной mtДНК по дочерним клеткам при дроблении, является размер единицы сегрега-

ции, и постулирующего соответственно наличие 2—3 единиц сегрегации в общем количестве митохондрий человека, привнесенных в зиготу мыши.

Основание для подобного утверждения содержится в полученном нами результате: по меньшей мере у $65.4 \pm 3.8\%$ зародышей изначально привнесенное количество mtДНК человека уже распределено между 2 бластомерами в ходе первого дробления. Кроме того, известно что репликации собственной mtДНК на стадии нескольких первых дроблений зародыша не происходит (Thundathil et al., 2005), и нельзя исключить, что и чужеродная mtДНК в этот период не реплицируется. Таким образом, в случае справедливости первого предположения можно ожидать совпадения экспериментально полученного распределения с модельным или некоторого отклонения в сторону большей доли зародышей с небольшим количеством бластомеров, несущих чужеродную mtДНК. Последнее отклонение возможно вследствие описанного выше «разведения» нескольких единиц сегрегации по 2 бластомерам в ходе первого дробления.

В случае справедливости второго предположения, наоборот, следует рассчитывать на увеличение доли зародышей с большим количеством бластомеров, несущих чужеродную mtДНК. Такой эффект можно считать вероятным исходя, во-первых, из предположения о том, что промежуток времени между первым и вторым дроблениями зародыша оказывается достаточным для «перемещивания» единиц сегрегации, а во-вторых, из того, что больше чем 2—3 единицы сегрегации в привнесенном в зиготу количестве чужеродных митохондрий подразумевает большую, чем 65.4 %, вероятность передачи чужеродной mtДНК обоим дочерним бластомерам при втором дроблении.

Из 102 эмбрионов, проанализированных на стадии 4 бластомеров, у 10 зародышей ($9.8 \pm 2.9\%$), mtДНК человека была обнаружена только в 1 бластомере, у 20 зародышей ($19.6 \pm 3.9\%$) — в 2 бластомерах из 4, у 25 зародышей ($24.5 \pm 4.3\%$) — в 3, у 47 зародышей ($46.1 \pm 4.9\%$) — во всех 4 бластомерах. Собственная mtДНК мыши, как и на предыдущей стадии, детектировалась во всех проанализированных бластомерах.

Поскольку ошибка доли зависит только от величины самой доли и от размера выборки, то для 102 эмбрионов ожидаемое модельное распределение приобретает следующий вид: только в 1 из 4 бластомеров mtДНК человека должна быть обнаружена у $12.0 \pm 3.2\%$ зародышей, в 2 из 4 — у $30.4 \pm 4.6\%$ зародышей, в 3 — у $29.6 \pm 4.5\%$ и во всех 4 — у $28.0 \pm 4.5\%$ зародышей.

Доля зародышей, у которых mtДНК человека была обнаружена только в 1 бластомере из 4, составляет $9.8 \pm 2.9\%$, что ниже доли, ожидаемой в случае справедливости третьего предположения ($34.6 \pm 3.8\%$), причем достоверность этого различия крайне велика ($\zeta = 5.17$, $p < 0.001$). Таким образом, третья гипотеза может быть отвергнута на очень высоком уровне значимости.

Для сравнения полученного экспериментального распределения чужеродной mtДНК на стадии 4 бластомеров с модельным мы использовали критерий χ^2 . Полученное значение критерия ($\chi^2 = 16.62$) говорит об очень высокой достоверности различия ($p < 0.001$) между экспериментальным и модельным распределениями. А большая доля именно зародышей, содержащих чужеродную mtДНК во всех 4 бластомерах (46.1 ± 4.9 против $28.0 \pm 4.5\%$ в модели $\zeta = 2.72$, $p < 0.01$), говорит в пользу справедливости второго предположения.

Кроме того, дополнительным косвенным подтверждением именно этого предположения являются результаты экспериментов, в которых на стадии 4 бластомеров анализировали трансмитохондриальные зародыши, полученные в результате инъекции митохондрий человека только в 1 из 2 бластомеров двухклеточного зародыша. В этом случае только 33 из 57 проанализированных эмбрионов (т. е. $57.9 \pm 6.5\%$) содержали чужеродную mtДНК в 2 бластомерах, а у 24 (т. е. у $42.1 \pm 6.5\%$) чужеродная mtДНК была обнаружена только в 1 бластомере, т. е. между инъекцией и последующим дроблением «перемещивания» не происходило.

Итак, можно сделать два важнейших вывода из проведенного исследования. Во-первых, согласно расчетам дочерние клетки при делении мышного зародыша получают mtДНК в виде единиц сегрегации, число которых несомненно превышает 2—3, что согласуется с данными, полученными на других объектах (Ashley et al., 1989). Следует понимать, что это число было рассчитано применительно к привнесенному в зиготу мыши количеству митохондрий человека. Условия наших экспериментов не позволяют оценить общее число единиц сегрегации, т. е. таких, в которые попала только mtДНК мыши.

Во-вторых, можно утверждать, что процесс распределения mtДНК по всему объему цитоплазмы занимает значительное время, соразмеримое с промежутком между дроблениями зародыша. Это справедливо по крайней мере для всех случаев, когда чужеродные митохондрии вводили в клетку извне (т. е. путем микропункции). Такое наблюдение согласуется с представлениями о механизмах перемещения митохондрий по цитоплазме, т. е. о необходимости участия в этом процессе цитоскелета (Tourte et al., 1991; Penman, 1995; Hermann et al., 1997) и специальных локомоторных белков — динаминов (Van der Bliek, 1999; Hinshaw, 2000; Olichon et al., 2002).

Полученные сведения относятся к самым первым этапам работы сложного механизма наследования признаков, кодируемых mtДНК. Необходимо тщательное исследование особенностей распределения копий митохондриального генома на дальнейших стадиях дробления зародыша. Вполне вероятно, что использованный нами подход позволит получить более полное представление об этом механизме и об алгоритме распределения mtДНК, если таковой существует.

Работа выполнена при финансовой поддержке Российского фонда фундаментальных исследований (проекты 06-04-49564 и 04-04-49157).

Список литературы

- Васильев В. Б. 2006. Генетические основы митохондриальных болезней. СПб.: Нестор-История. 146 с.
- Басс М. Г., Соколова В. А., Кустова М. Е., Кидготко О. В., Сорокин А. В., Васильев В. Б. 2005. Анализ эффективности получения трансмитохондриальных мышей путем микропункции митохондрий человека в зиготу мыши. Мед. акад. журн. 5 : 55—61.
- Гланц С. 1999. Медико-биологическая статистика. М.: Практика. 460 с.
- Anderson S., Bankier A. T., Barrell B. G., de Brujin M. H., Coulson A. R., Drouin J., Eperon I. C., Nierlich D. P., Roe B. A., Sanger F., Schreier P. H., Smith A. J., Staden R., Young I. G. 1981. Sequence and organization of the human mitochondrial genome. Nature. 290 : 457—465.

- Ashley M. V., Laipis P. J., Hauswirth W. W. 1989. Rapid segregation of heteroplasmic bovine mitochondria. *Nucl. Acids Res.* 17 : 7325—7331.
- Bass M. G., Sokolova V. A., Kustova M. E., Grachyova E. V., Kidgotko O. V., Sorokin A. V., Vasilyev V. B. 2006. Analysis of efficiency of obtaining transmtochondrial mice by microinjections of human mitochondria into mouse zygote. *Biochim. biophys. acta.* 1757 : 679—685.
- Bibb M. J., van Etten R. A., Wright C. T., Walberg M. W., Clayton D. A. 1981. Sequence and gene organization of mouse mitochondrial DNA. *Cell.* 26 : 167—180.
- Hermann G. J., King E. J., Shaw J. M. 1997. The yeast gene, MDM20, is necessary for mitochondrial inheritance and organization of the actin cytoskeleton. *J. Cell Biol.* 137 : 141—153.
- Hinshaw J. E. 2000. Dynamin and its role in membrane fission. *Annu. Rev. Cell Develop. Biol.* 16 : 483—519.
- Howell N. 1996. Mutational analysis of the human mitochondrial genome branches into the realm of bacterial genetics. *Amer. J. Hum. Genet.* 59 : 749—755.
- Howell N. 1999. Human mitochondrial diseases: answering questions and questioning answers. *Int. Rev. Cytol.* 186 : 49—116.
- Matthews P. M., Brown R. M., Morten K., Marchington D., Poulton J., Brown G. 1995. Intracellular heteroplasmy for disease-associated point mutations in mtDNA: implications for disease expression and evidence for mitotic segregation of heteroplasmic units of mtDNA. *Hum. Genet.* 96 : 261—268.
- Nagy A., Gertsenstein M., Vintersten K., Behringer R. 2003. Manipulating the mouse embryo. New York: Cold Spring Harbor Lab. Press. 764 p.
- Nogawa T., Sung W. K., Jagiello G. M., Bowne W. 1988. A quantitative analysis of mitochondria during fetal mouse oogenesis. *J. Morphol.* 195 : 225—234.
- Olichon A., Emorine L. J., Descoings E., Pelloquin L., Briche-
se L., Gas N., Guillou E., Delettre C., Valette A., Hamel C. P., Du-
commun B., Lenaers G., Belenguer P. 2002. The human dynamin-related protein OPA1 is anchored to the mitochondrial inner membrane facing the inter-membrane space. *FEBS Lett.* 523 : 171—176.
- Penman S. 1995. Rethinking cell structure. *Proc. Nat. Acad. Sci. USA.* 92 : 5251—5257.
- Poulton J., Marchington D. R. 1996. Prospects for DNA-based prenatal diagnosis of mitochondrial disorders. *Prenatal Diagnosis.* 16 : 1247—1256.
- Smith L. C., Alcivar A. A. 1993. Cytoplasmic inheritance and its effects on developments and performance. *J. Reprod. Fertil. (Suppl.).* 48 : 31—43.
- Sokolova V. A., Kustova M. E., Arbuzova N. I., Sorokin A. V., Moskaliova O. S., Bass M. G., Vasilyev V. B. 2004. Obtaining mice that carry human mitochondrial DNA transmitted to the progeny. *Mol. Reprod. Develop.* 68 : 299—307.
- Thundanthalil J., Elison F., Smith L. 2005. Molecular control of mitochondrial function in preimplantation mouse embryos. *Mol. Reprod. Develop.* 71 : 405—413.
- Tourte M., Besse C., Mounolou J.-C. 1991. Cytochemical evidence of an organized microtubular cytoskeleton in *Xenopus laevis* oocytes: involvement in the segregation of mitochondrial populations. *Mol. Reprod. Develop.* 30 : 353—359.
- Van der Bliek A. M. 1999. Functional diversity in the dynamin family. *Trends Cell Biol.* 9 : 96—102.
- Vasilyev V. B., Sokolova V. A., Sorokin A. V., Bass M. G., Arbusova N. I., Patkin E. L., Golubkov V. I., Dyban A. P., Gaitskhoki V. S. 1999. Persistence of human mitochondrial DNA throughout the development to the blastocyst of mouse zygotes microinjected with human mitochondria. *Zygote.* 7 : 279—283.

Поступила 21 IV 2008

DISTRIBUTION OF FOREIGN MITOCHONDRIAL DNA DURING THE FIRST SPLITTINGS OF THE TRANSMITOCHONDRIAL MOUSE EMBRYOS

M. E. Kustova, V. A. Sokolova, M. G. Bass, F. M. Zakharova, A. V. Sorokin, V. B. Vasilyev¹

Research Institute of Experimental Medicine RAMS, St. Petersburg;
¹ e-mail: vadim@mtdna.ru

Distribution of human mitochondrial DNA (mtDNA) among separate murine blastomeres was analyzed during the splitting of embryos in which the suspension of human mitochondria had been injected at the one- or two-cell stage. Human mtDNA was detected by PCR with species specific primers. The total amount of the two- and four-cell murine embryos analyzed in the study was 339. In all embryos examined the copies of human mitochondrial genome were revealed along with murine mtDNA, which indicated the phenomenon of an artificially modeled heteroplasmy. The foreign mtDNA was not ubiquitous among the blastomeres of transmtochondrial embryos. Mathematical analysis of the results showed that in the period between the injection of human mitochondria and the subsequent splitting no equal distribution of the human mtDNA occurred in the cytoplasm. These results also point at the presence of more than 2—3 segregation units of mtDNA in the entire pool of mitochondria (about $5 \cdot 10^2$) introduced into an embryo by microinjection.

Key words: mitochondria, mtDNA segregation, heteroplasmy, transgenic mice.